

A close-up photograph of a large pile of crushed seashells, likely scallop shells, showing various shades of yellow, tan, and brown.

Algoritmos e complexidade: uma introdução

Marcus Ritt

Instituto de Informática
Universidade Federal do Rio Grande do Sul
Porto Alegre, Brasil

Agenda

- ➊ Parte 1: Modelos computacionais e análise assintótica
- ➋ Parte 2: Análise na prática
- ➌ Parte 3: Complexidade de problemas e classes de complexidade

Parte I

Modelos e análise

Agenda

- 1 Complexidade
- 2 Notação assintótica
- 3 Modelos de computação
- 4 Um fundamento para a análise prática

Multiplicação

$$3 \times 5 = ?$$

Multiplicação

$$3 \times 5 = 15$$

Multiplicação...

$$\begin{array}{r} 334780716989568987860441698482126908177 \\ 047949837137685689124313889828837938780 \\ 02287614711652531743087737814467999489 \\ \times \\ 367460436667995904282446337996279526322 \\ 791581643430876426760322838157396665112 \\ 79233373417143396810270092798736308917 = ? \end{array}$$

Multiplicação...

$$\begin{array}{r} 334780716989568987860441698482126908177 \\ 047949837137685689124313889828837938780 \\ 02287614711652531743087737814467999489 \\ \times \\ 367460436667995904282446337996279526322 \\ 791581643430876426760322838157396665112 \\ 79233373417143396810270092798736308917 \\ = \\ 123018668453011775513049495838496272077 \\ 285356959533479219732245215172640050726 \\ 365751874520219978646938995647494277406 \\ 384592519255732630345373154826850791702 \\ 612214291346167042921431160222124047927 \\ 4737794080665351419597459856902143413 \end{array}$$

Versus: Fatoração

$$21 = ? \times ?$$

Versus: Fatoração

$$21 = 3 \times 7$$

Versus: Fatoração...

123018668453011775513049495838496272077
285356959533479219732245215172640050726
365751874520219978646938995647494277406
384592519255732630345373154826850791702
612214291346167042921431160222124047927
=?×?

Versus: Fatoração...

123018668453011775513049495838496272077
285356959533479219732245215172640050726
365751874520219978646938995647494277406
384592519255732630345373154826850791702
612214291346167042921431160222124047927
4737794080665351419597459856902143413

=

334780716989568987860441698482126908177
047949837137685689124313889828837938780
02287614711652531743087737814467999489

×

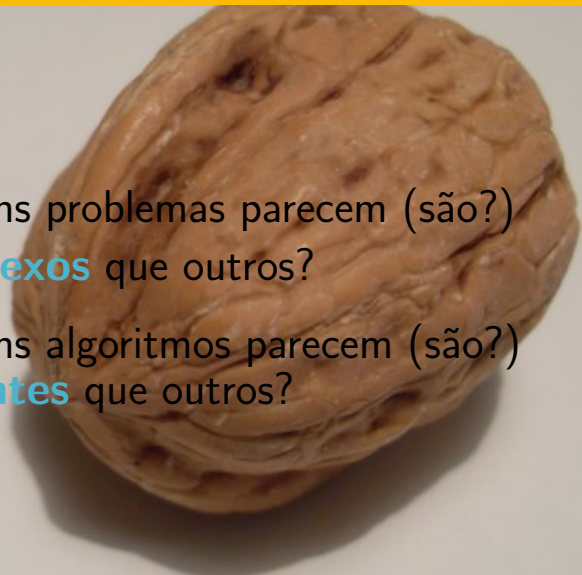
367460436667995904282446337996279526322
791581643430876426760322838157396665112
79233373417143396810270092798736308917

Custo: 2000 2.2GHz-Opteron–anos CPU

Complexidade?

Porquê alguns problemas parecem (são?)
mais **complexos** que outros?

Porquê alguns algoritmos parecem (são?)
mais **eficientes** que outros?



Nossos exemplos

Multiplicação de números inteiros de $O(n)$ bits:

- Método “escola”: $O(n^2)$
- Melhor método: $n \log n 2^{O(\log^* n)}$ (Fürer, 2007)

Fatoração de um número inteiro com $O(n)$ bits:

- Crivo de Eratóstenes: $O(2^n n \log n)$.
- General prime number sieve: $O(e^{(c+o(1))n^{1/3} \log^{2/3} n})$

Agenda

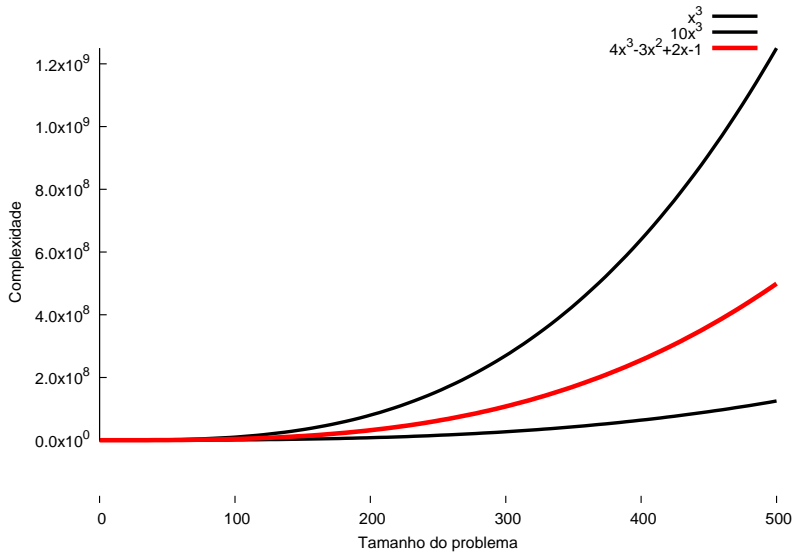
- 1 Complexidade
- 2 Notação assintótica
- 3 Modelos de computação
- 4 Um fundamento para a análise prática

Notação assintótica

- Frequentemente desejável: só considerar a **ordem de crescimento** de uma função
- Exemplo: $4n^3 - 3n^3 + 2n - 1$ cresce “como” n^3

Notação:

- Limite superior: $4n^3 - 3n^3 + 2n - 1 \in O(n^3)$: cresce “não mais” que n^3
- Limite inferior: $4n^3 - 3n^3 + 2n - 1 \in \Omega(n^3)$: cresce “mais” que n^3
- $4n^3 - 3n^3 + 2n - 1 \in \Theta(n^3)$: cresce “igual” a n^3



Mais formal...

Classes de crescimento

Para funções $f, g : \mathbb{N} \rightarrow \mathbb{R}^+$:

$$O(g(n)) = \{f \mid \exists c > 0 \exists n_0 \forall n > n_0 : f(n) \leq cg(n)\}$$

$$\Omega(g(n)) = \{f \mid \exists c > 0 \exists n_0 \forall n > n_0 : f(n) \geq cg(n)\}$$

$$\Theta(g(n)) = O(g(n)) \cap \Omega(g(n))$$

$$o(g(n)) = \{f \mid \forall c > 0 \exists n_0 \forall n > n_0 : f(n) \leq cg(n)\}$$

$$\omega(g(n)) = \{f \mid \forall c > 0 \exists n_0 \forall n > n_0 : f(n) \geq cg(n)\}$$

Exemplos

- $\sin(n) \in O(1)$
- $n^2 \in O(n^3)$
- $n^{O(1)}$ (tempo polinomial)
- $n! \in \sqrt{2\pi n} \left(\frac{n}{e}\right)^n (1 + O(1/n))$ (Stirling, 1730)
- $\pi(n) \in \Theta(n/\ln n)$ (Hadamard, 1896; de la Vallée Poussin, 1896)

Notações adicionais

- Logaritmo iterado

$$\log^* n = \begin{cases} 0 & \text{se } n \leq 1 \\ 1 + \log^*(\log n) & \text{caso contrário} \end{cases}$$

- Desconsiderar fatores logarítmicos (soft- O , O -suave)

$$f \in \tilde{O}(g) \implies \exists k : f \in O(g \log^k g)$$

Algumas características

$$f = O(f)$$

$$cO(f) = O(f)$$

$$O(f) + O(f) = O(f)$$

$$O(O(f)) = O(f)$$

$$O(f)O(g) = O(fg)$$

$$O(fg) = fO(g)$$

$$g = O(f) \implies f + g = \Theta(f)$$

)

Eficiente: em que?

- Tempo de execução
- Memória consumida
- Número de operações E/S
- Memória acessada e número de falhas de cache
- Energia consumida
- Energia dissipada

Problema básico: qual algoritmo é mais eficiente?

O que é eficiente?

Uma tentativa:

Definition (Kleinberg and Tardos (2005))

An algorithm is efficient if, when implemented, it runs quickly on real input instances.

Abordagem experimental

- Mede um grande número de instâncias, extrapola, compara.
- Mede um conjunto de instâncias selecionadas e compara.

Vantagens:

- Relativamente simples

Desvantagens:

- Pode ser inviável pelo número de testes necessários.
- Muitas dependências (máquina, ruído, E/S, etc.) dificultam a comparação dos resultados.
- Escolha de instâncias representativas é difícil.

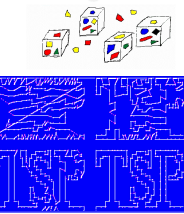
Alguns exemplos de coleções de instâncias

QAPLIB

VRPLIB

CSPLib

Bin Packing



MIPLIB

SteinLib

sdn·lib

VRP web



SATLIB

Exemplo de um fracasso

It is all too easy to make predictions which are quite at variance with observed performance.

It is also easy to assume that relative performance on one computer will apply to another computer.

Perhaps even worse, it is possible to optimize away the worst case [...] at the cost of penalizing the usual case.

Fenwick, Some perils of performance prediction: a case study in pattern matching.

Agenda

1 Complexidade

2 Notação assintótica

3 Modelos de computação

- A máquina de Turing
- A máquina RAM

4 Um fundamento para a análise prática

Abordagem teórica

Define um modelo teórico, e compara neste modelo.

Vantagens:

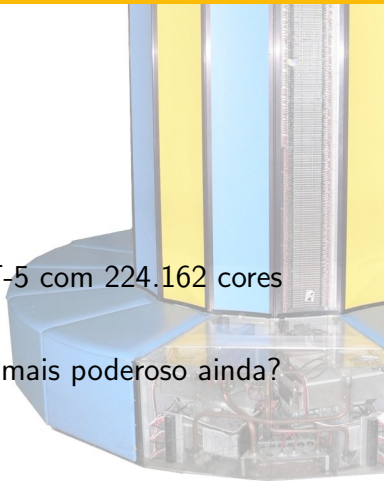
- Resultados comparáveis.

Desvantagens:

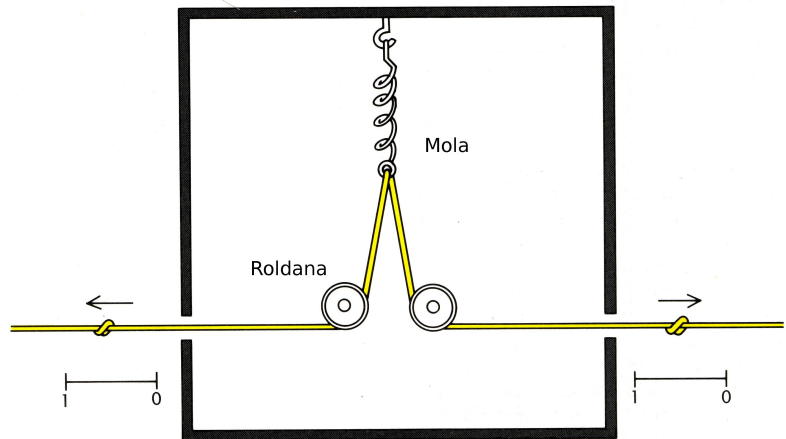
- Modelos podem ser elementares demais para algoritmos práticos (máquina Turing).
- Não é obviou qual o modelo certo (quais instruções?)

Qual o modelo de computação adequado ?

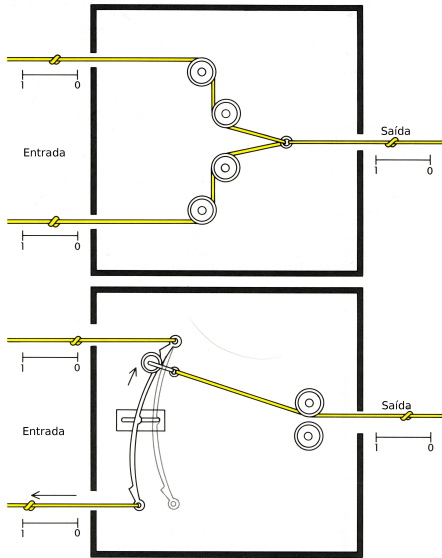
- O computador de von Neumann?
- Um super-computador paralelo?
Top 500, 9/2009: Jaguar Cray XT-5 com 224.162 cores
- Um computador quântico?
- Um outro modelo de computação mais poderoso ainda?
O universo?



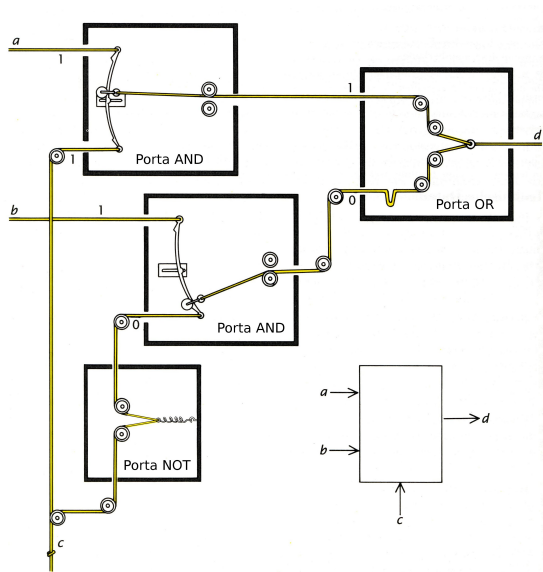
Qual o modelo certo?



Qual o modelo certo?

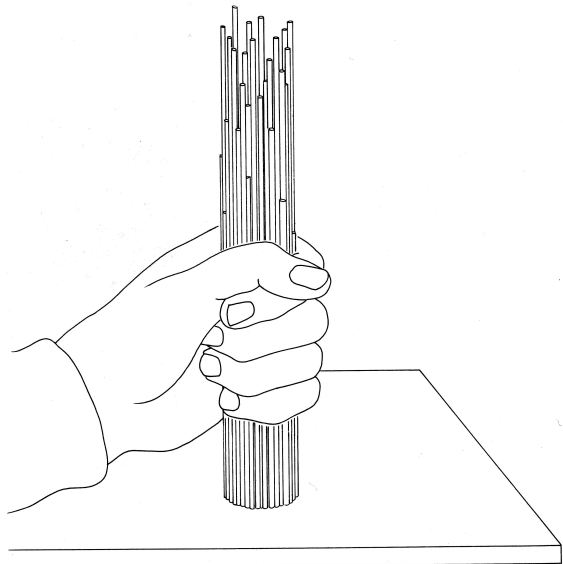


Qual o modelo certo?



Qual o modelo certo?

Ordenar n números em tempo linear?



O universo é o computador? Fatos

Idade	$13.7 \pm 0.2 \times 10^9$ anos $\approx 43.5 \times 10^{16}$ s
Tamanho	$\geq 78 \times 10^9$ anos-luz
Densidade	$9.9 \times 10^{-30} g/cm^3$
Número de átomos	10^{80}
Número de bítis	10^{120}
Operações lógicas elementares até hoje	10^{120}
Operações/s	$\approx 2 \times 10^{102}$

(Pelo consenso científico atual. Fontes principais: Lloyd (2002); WMA)

Tese de Church-Turing

As funções efetivamente computáveis sobre os números inteiros positivos são precisamente as funções computáveis pela máquina de Turing.

- Verdadeiro para todos modelos conhecidos

Maquina de Turing, cálculo lambda, máquina RAM, máquina pontador, circuitos lógicos, autômatos celulares (Conway), avaliação de templates em C++, computador billiard, computador quântico, ...

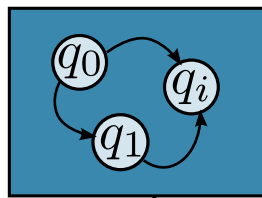
A máquina de Turing

Computing is normally done by writing certain symbols on paper. "We may suppose this paper is divided into squares like a child's arithmetic book. In elementary arithmetic the two-dimensional character of the paper is sometimes used. But such a use is always avoidable, and I think that it will be agreed that the two-dimensional character of paper is no essential of computation. I assume then that the computation is carried out on one-dimensional paper, i.e. on a tape divided into squares. I shall also suppose that the number of symbols which may be printed is finite. If we were to allow an infinity of symbols, then there would be symbols differing to an arbitrarily small extent. The effect of this restriction of the number of symbols is not very serious. It is always possible to use sequences of symbols in the place of single symbols. Thus an Arabic numeral such as 17 or 9999999999999999 is normally treated as a single symbol. Similarly in any European language words are treated as single symbols (Chinese, however, attempts to have an enumerable infinity of symbols). The differences from our point of view between the single and compound symbols is that the compound symbols, if they are too lengthy, cannot be observed at one glance. This is in accordance with experience. We cannot tell at a glance whether 9999999999999999 and 9999999999999999 are the same. (Turing, 1936).

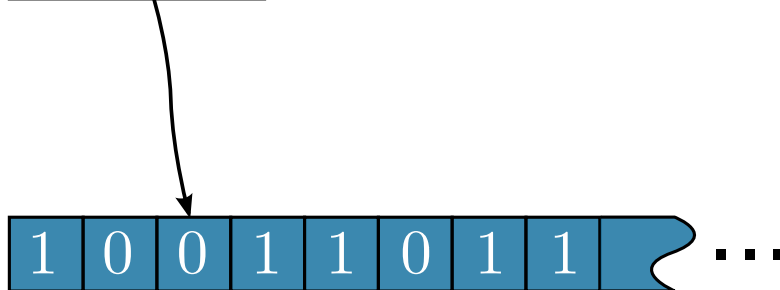


Alan Mathison
Turing (*1912,
+1954)

Um exemplo – a máquina de Turing



Cabeça de leitura
e escritura



Fita infinita

A máquina RAM

A **máquina RAM** (random access machine) é o modelo padrão para análise de algoritmos. Ela possui

- um processador com um ou mais registros, e com apontador de instruções,
- uma memória infinita de números inteiros e
- instruções elementares (controle,transferência inclusive endereçamento indireto,aritmética).

A máquina RAM

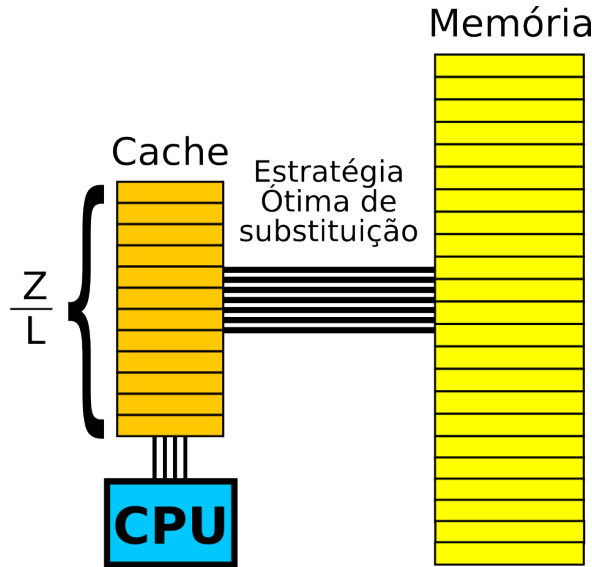
Existem RAMs com diferentes tipos de instruções aritméticas

- **SRAM**: somente sucessor
- **RAM**: adição e subtração
- **MRAM**: multiplicação e divisão

e com diferentes tipos de custos

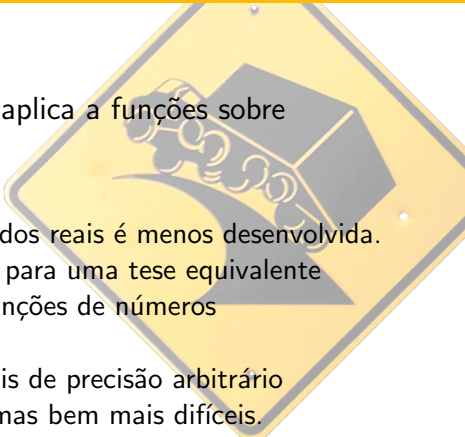
- Custo **uniforme**: cada operação em $O(1)$
- Custo **logarítmico**: proporcional ao número de bits dos operandos

Máquina RAM com cache



Perigo?

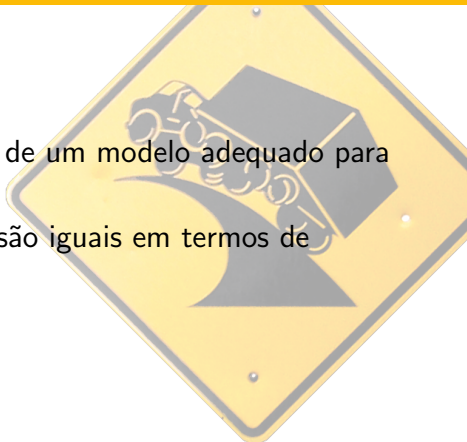
- A tese de Church-Turing se aplica a funções sobre números inteiros.
- E números reais?
 - A teoria da computação dos reais é menos desenvolvida.
 - Exemplo: falta evidência para uma tese equivalente sobre as funções sobre funções de números inteiros (Mitchell, 1996).
 - Com operações sobre reais de precisão arbitrário podemos resolver problemas bem mais difíceis.
 - Praticamente não é problema: a quantidade de informação por volume (ou energia) é limitada (Bekenstein, 1981).



Perigo?

Isso ainda não garante a escolha de um modelo adequado para análise de eficiência!

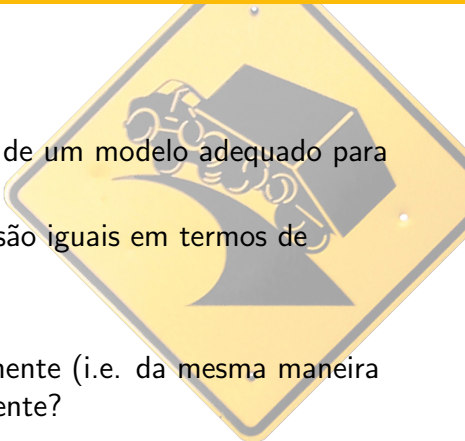
- Será que todos os modelos são iguais em termos de eficiência?
- Não!



Perigo?

Isso ainda não garante a escolha de um modelo adequado para análise de eficiência!

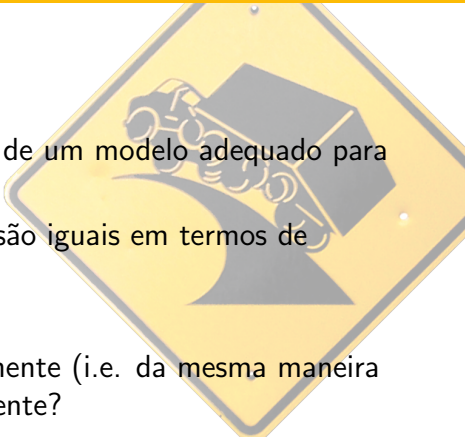
- Será que todos os modelos são iguais em termos de eficiência?
- Não!
- Será que eles são uniformemente (i.e. da mesma maneira para todos problemas) diferente?



Perigo?

Isso ainda não garante a escolha de um modelo adequado para análise de eficiência!

- Será que todos os modelos são iguais em termos de eficiência?
- Não!
- Será que eles são uniformemente (i.e. da mesma maneira para todos problemas) diferente?
- Não!



Exemplos de simulação

Theorem (van Leeuwen (1990))

m – tapes \leq 1 – tape(*time* kn^2 & *space* Lin)

m – tapes \leq 2 – tape(*time* $kn \log n$ & *space* Lin)

SRAM – UTIME $\leq T$ (*time* $n^2 \log n$)

RAM – UTIME $\leq T$ (*time* n^3)

MRAM – UTIME $\leq T$ (*time* *Exp*)

SRAM – LTIME $\leq T$ (*time* n^2)

RAM – LTIME $\leq T$ (*time* n^2)

MRAM – LTIME $\leq T$ (*time* *Poly*)

Resgate 2

Tese estendida de Church-Turing

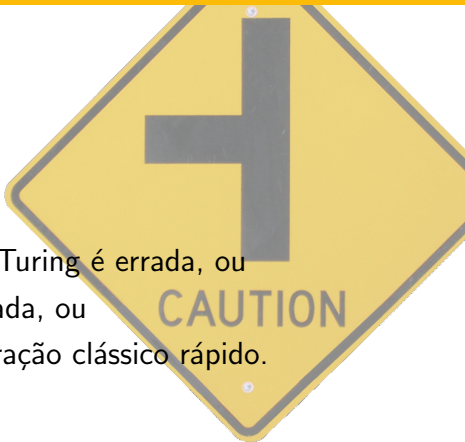
Qualquer modelo de computação universal é equivalente à máquina de Turing com

- custo adicional de tempo no máximo polinomial
- custo adicional de espaço no máximo constante
- Equivalência definido por simulação mutual.
- Verdadeiro para **quase** todos modelos conhecidos:
Maquina de Turing, cálculo lambda, máquina RAM, máquina pontador, circuitos lógicos, autômatos celulares (Conway), avaliação de templates em C++, computador billiard, ...
- Computador quântico?

Consequência: Shor's trilemma

Ou

- a tese estendida de Church-Turing é errada, ou
- a física quântica atual é errada, ou
- existe um algoritmo de fatoração clássico rápido.



Agenda

- 1 Complexidade
- 2 Notação assintótica
- 3 Modelos de computação
- 4 Um fundamento para a análise prática

Um fundamento para a análise prática

- A **máquina RAM** (simples) serve como base da análise.
- A complexidade de um algoritmo depende do **tamanho** n da instância
Queremos classificar o **crescimento** da complexidade com n .
- Na análise desconsideramos fatores constantes.

Tipos de crescimento

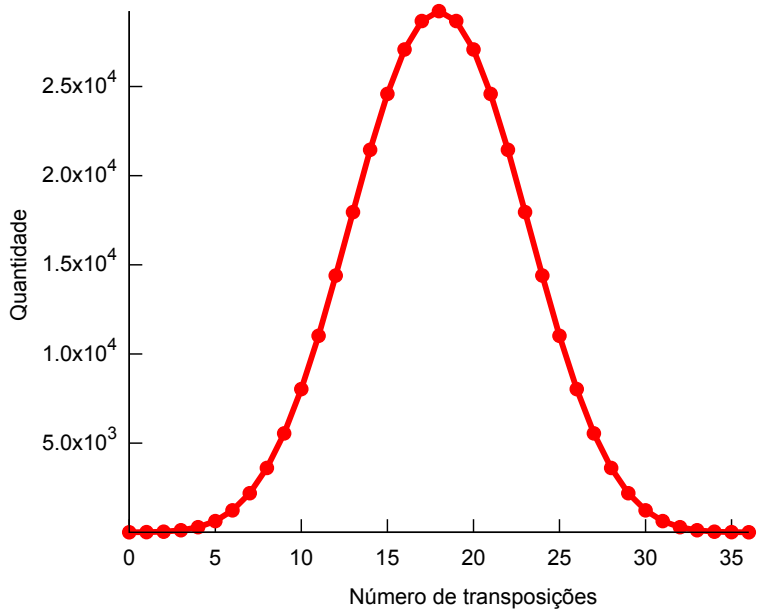
- Tempo sublinear: busca binária
- Tempo linear $O(n)$: máximo de n números
- Tempo $O(n \log n)$: ordenação de n números
- Tempo quadrático $O(n^2)$: menor distância entre n pontos
- Tempo cúbico $O(n^3)$: multiplicação de matrizes

Tipo de análise

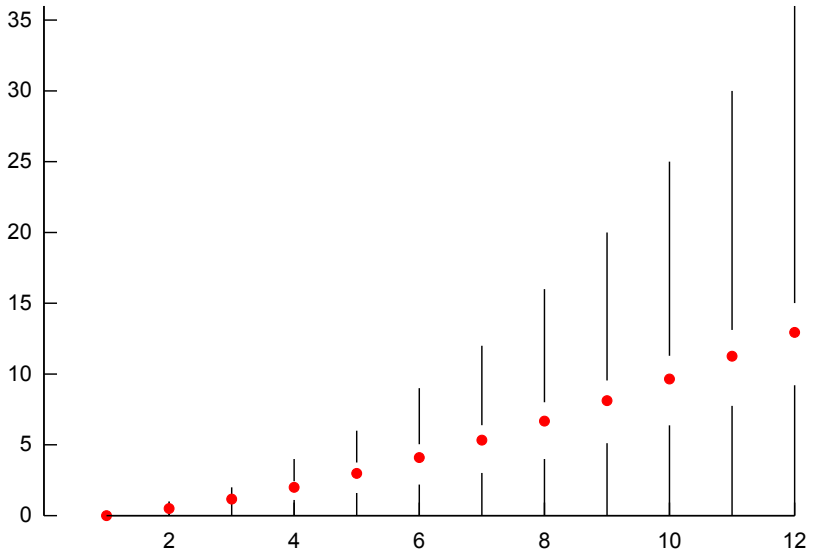
Temos a opção de considerar, entre todos instâncias de tamanho n

- O melhor caso (análise otimista): praticamente inútil, ou
- o caso médio, ou
- o pior caso (análise pessimista): o mais comum.

Distribuição das transposições no Bubblesort para n=9



Número de transposições no Quicksort



Consequências

- Um problema faz parte da classe $\text{DTIME}(t(n))$ caso existe um MT que decide-o em tempo $ct(n)$ para alguma constante $c > 0$.
- (A teoria foca em problemas de decisão.)
- Para o estudo da **tratabilidade** de problemas desconsideramos fatores polinomiais.
- A classe de problemas com soluções polinomiais é

$$P = \bigcup_{k \geq 0} \text{DTIME}(n^k)$$

Parte II

Análise prática

Agenda

- 5 Introdução
- 6 Exemplos introdutórios
- 7 Princípios básicos
- 8 Análise amortizada e agregada
- 9 Recursão

Ainda vale a pena estudar algoritmos?





Muhammad ibn Mūsā al-Khwārizmī ($\approx 780 - \approx 850$)

محمد بن موسى الخوارزمي

Technical Report IDSIA-16-00, 3 March 2001
<ftp://ftp.idsia.ch/pub/techrep/IDSIA-16-00.ps.gz>

THE FASTEST AND SHORTEST ALGORITHM FOR ALL WELL-DEFINED PROBLEMS¹

Marcus Hutter

Theorem (Busca de Hutter)

Para cada problema P formalmente definido e cada algoritmo p , que demonstravelmente resolve P , e para qual $t_p(x)$ que demonstravelmente é um limite superior para o tempo de execução, podemos construir um algoritmo (de forma genérica) tal que

$$t_A(x) \leq 5t_p(x) + d_p \text{ time}_{t_p}(x) + c_p$$

onde time_{t_p} é o tempo necessário para calcular o limite de tempo $t_p(x)$.

Em outras palavras: $t_A(x) = O(t_p(x))$ caso a função de tempo pode ser calculado em tempo razoável!

Busca de Hutter: Qual o problema?

- Desvantagem? Os constantes c_p e d_p são grandes...
- Por exemplo: Se a prova de corretude precisa b bits, temos

$$c_p = 40 2^{b+1} O(b^2).$$

- Conseqüência: Temos que procurar algoritmos eficientes **dentro dos limites do universo!**

Agenda

- 5 Introdução
- 6 Exemplos introdutórios
- 7 Princípios básicos
- 8 Análise amortizada e agregada
- 9 Recursão

Exemplo

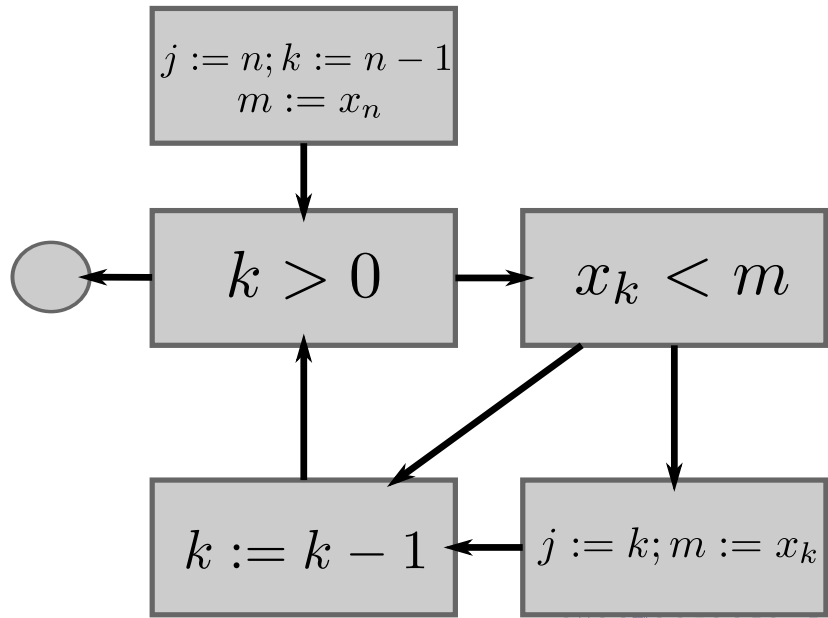
Máximo

Entrada n números x_1, \dots, x_n

Saída O máximo $m = \max_{1 \leq i \leq n} x_i$.

```
1   $j := n; k := n - 1; m := x_n$ 
2  { Invariante:  $m = x_j = \max_{k < i \leq n} x_i$  }
3  while  $k > 0$  do
4      if  $x_k < m$  then
5           $j := k; m := x_k$ 
6      end if
7       $k := k - 1$ 
8  end while
```

Fluxograma do algoritmo máximo



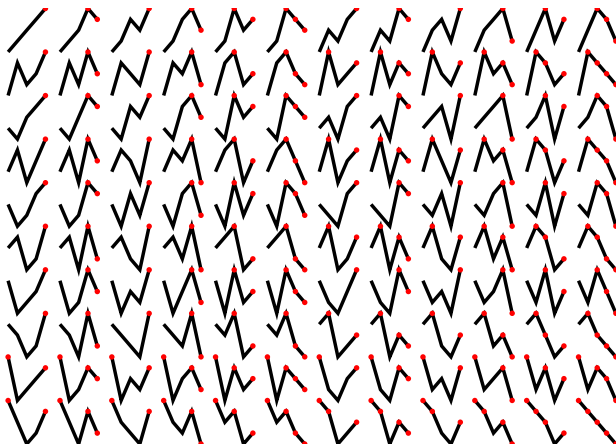
Custo computacional

Linha	Repetições
1	1
2	1
3	n
4	$n - 1$
5	A
6	$n - 1$
7	$n - 1$
8	$n - 1$

- Complexidade: $c_1 n + c_2 A + c_3$
- Única informação desconhecida: A
- Caso otimista: $c_1 n + c_3 = \Theta(n)$
$$x_n > \dots > x_1 \implies A = 0$$
- Caso pessimista $c'_1 n + c'_3 = \Theta(n)$
$$x_n < \dots < x_1 \implies A = n - 1$$
- Caso médio? $O(n)$

E caso queremos saber mesmo?

- A não depende dos valores. A questão é:
“Qual o número médio de picos de uma permutação
randômica?”



E caso queremos saber mesmo?

- Para uma permutação π considere a **tabela de inversões** b_1, \dots, b_n .
- b_i é o número de elementos na esquerda de i que são maiores que i .
- Exemplo: Para 53142
$$\begin{array}{ccccc} b_1 & b_2 & b_3 & b_4 & b_5 \\ \hline 2 & 3 & 1 & 1 & 0 \end{array}$$
- Os b_i obedecem $0 \leq b_i \leq n - i$.

Tabelas de inversões

- Observação: Cada tabela de inversões corresponde com uma permutação e vice versa.
- Exemplo: A permutação correspondente com
$$\begin{array}{ccccc} b_1 & b_2 & b_3 & b_4 & b_5 \\ \hline 3 & 1 & 2 & 1 & 0 \end{array}$$
é 52413.
- Vantagem para a análise: Podemos escolher os b_i independentemente.
- Observação: i é máximo local (da esquerda), caso não tem números maiores na esquerda, i.e. para $b_i = 0$.

Número esperado de atualizações

- Seja X_i a variável aleatória $X_i = [i \text{ é máximo local}]$.
- Temos $\Pr[X_i = 1] = \Pr[b_i = 0] = 1/(n - i + 1)$.
- O número de máximos locais é $X = \sum_{1 \leq i \leq n} X_i$.
- Portanto, o número esperado de máximos locais é

$$\begin{aligned} E[X] &= E\left[\sum_{1 \leq i \leq n} X_i\right] = \sum_{1 \leq i \leq n} E[X_i] \\ &= \sum_{1 \leq i \leq n} \Pr[X_i] = \sum_{1 \leq i \leq n} \frac{1}{n - i + 1} = \sum_{1 \leq i \leq n} \frac{1}{i} = H_n \end{aligned}$$

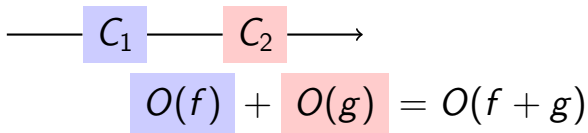
- Contando atualizações: tem uma a menos que os máximos locais $H_n - 1$.

Agenda

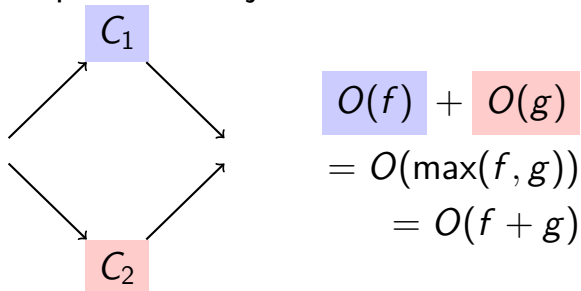
- 5 Introdução
- 6 Exemplos introdutórios
- 7 Princípios básicos
 - Tópicos
- 8 Análise amortizada e agregada
- 9 Recursão

Componentes básicos

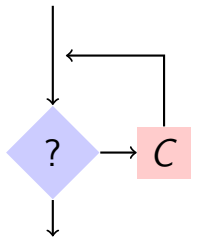
- Componentes conjuntivas



- Componentes disjuntivas



Laços



$$O(k) \ O(f) = O(kf)$$

- Laço definido: Número $k = k(n)$ de iterações conhecido
- Laço indefinido: Número de iterações não conhecido
 - Estimar um limite
 - Problema é indecidível no caso geral

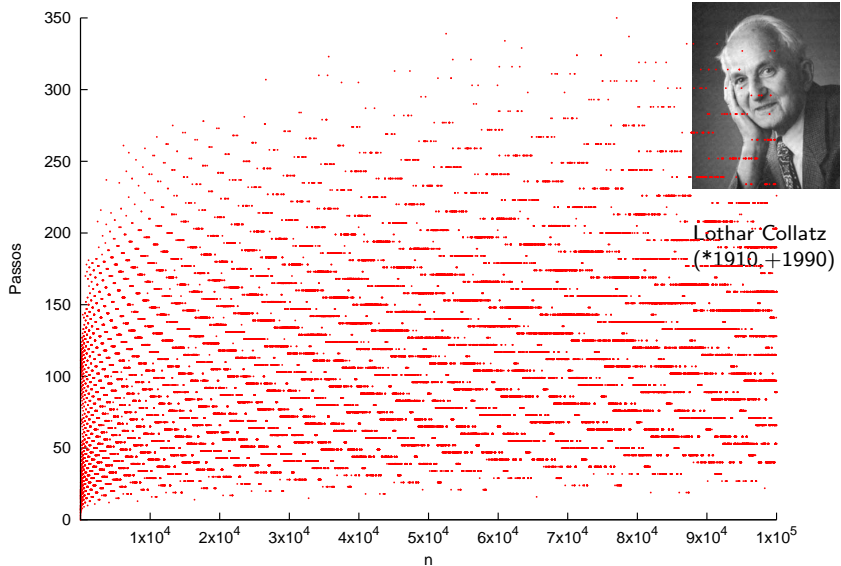
Número de iterações?

C

Entrada Número $x \in \mathbb{N}$.

```
1  while x ≠ 1 do
2      if x mod 2 = 0 then
3          x := x/2
4      else
5          x := 3x + 1
6      end if
7  end while
```

Conjetura de Collatz



Bubblesort

Entrada Uma seqüência a_1, \dots, a_n de números inteiros.

Saída Uma seqüência $a_{\pi(1)}, \dots, a_{\pi(n)}$ de números inteiros com π uma permutação de $[1, n]$ tal que para $i < j$ temos $a_{\pi(i)} \leq a_{\pi(j)}$.

```
1  for i:=1 to n
2    for j:=1 to n-i
3      if  $a_j > a_{j+1}$  then
4        swap  $a_j, a_{j+1}$ 
5      end if
6    end for
7 end for
```

$$\sum_{1 \leq i \leq n} \sum_{1 \leq j \leq n-i} O(1) = O(n/2(n-1)) = O(n^2)$$

Busca Binária

Entrada Número $x \in \mathbb{Z}$ e seqüência ordenada

$$S = a_1, \dots, a_n$$

Saída Posição i com $a_i = x$, ou -1 caso $x \notin S$.

```
1   $i := 1; f := n; m := \lfloor \frac{f-i}{2} \rfloor + i$ 
2  while  $i \leq f$  do
3      if  $a_m = x$  then return  $m$ 
4      if  $a_m < x$  then  $f := m - 1$ 
5      else  $i := m + 1$ 
6       $m := \lfloor \frac{f-i}{2} \rfloor + i$ 
7  end while
8 return  $-1$ 
```

$$\sum_{1 \leq i \leq \log_2 n} O(1) = O(\log_2 n) = O(\log n)$$

Dependência de valores

P

Entrada Um número $n \in \mathbb{N}$.

```
1 r:=1
2 for  $i = 1, \dots, n$  do
3     r := 2r
4 end for
```

Complexidade?

Dependência de valores

P

Entrada Um número $n \in \mathbb{N}$.

```
1  r:=1
2  for i = 1, . . . , n do
3      r := 2r
4  end for
```

Complexidade?

- O tamanho da entrada é $m = \Theta(\log n)$.
- Logo: a complexidade é $\Theta(2^m)$ **exponencial**.
- Algoritmo **pseudo-polinomial**: polinomial no valor, não no tamanho da entrada.

Agenda

- 5 Introdução
- 6 Exemplos introdutórios
- 7 Princípios básicos
- 8 Análise amortizada e agregada
- 9 Recursão

Um contador

- Um contador binário com k bits conta de 0 até $2^k - 1$.
- Um incremento: complexidade $O(k)$ no pior caso.
- Em total: complexidade $O(k2^k)$.
- Difícil: Estimar um limite para o número de 1's (OEIS A001511)

00000

00001

00010

00011

00100

00101

00110

00111

01000

01001

01010

01011

01100

01101

01110

01111

Solução: análise amortizada

- Pagaremos duas operações por bit setado
 - Uma para setar mesmo
 - Outra vai para conta.
- Zerando bits será pagado com operações da conta, e custa “nada”.
- Logo: cada incremento custa $O(1)$, e o total é $O(2^k)$.
- **O custo amortizado é a média sobre o caso pessimista!**

Solução: análise amortizada

- Temos custos reais c_1, \dots, c_n da uma série de operações
- Queremos o custo amortizado $\sum_i c_i/n$
- A “conta” é uma **função potencial** φ_i do estado atual
 - Normalização $\varphi_1 = 0$ (“conta vazio”)
 - $\varphi \geq 0$ (“não emprestar dinheiro”)
- Trabalharemos com o custo amortizado

$$a_i = c_i - \varphi_i + \varphi_{i+1}$$

- Com isso

$$\sum a_i = \sum c_i - \varphi_i + \varphi_{i+1} = \varphi_{n+1} - \varphi_1 + \sum c_i \geq \sum c_i$$

Análise amortizada do contador

- Contador: $\varphi(i)$ é o número de bits na representação de i
- Custo de um incremento de

$$e_1 : \quad \underbrace{\cdots}_{q \text{ bits um}} 0 \underbrace{11 \cdots 1}_{p \text{ bits um}}$$

para

$$e_2 : \quad \underbrace{\cdots}_{q} 1 \underbrace{00 \cdots 0}_{0} ?$$

- Custo amortizado

$$c - \varphi(e_1) + \varphi(e_2) = p + 1 - p - q + 1 + q = 2 = O(1).$$

Aplicações da análise amortizada

- Análise de **operações sobre estruturas de dados**

Dois exemplos:

- Inserção numa tabela dinâmica: $\Theta(n)$ pessimista, $\Theta(1)$ amortizado
- Deleção num heap Fibonacci: $O(\log n)$ pessimista, $O(1)$ amortizado

Busca em Largura

Entrada Grafo direcionado $G = (V, A)$, nó origem s .

```
1  for cada vértice  $u \in V \setminus \{s\}$  do
2       $c_u :=$ Branco
3       $c_s :=$ Cinza
4       $Q := \{s\}$ 
5  while  $Q \neq \emptyset$  do
6      seleciona  $u \in Q$ ;  $Q := Q \setminus \{u\}$ 
7      for  $v \in N(u)$  do
8          if  $c_v =$ Branco then
9               $c_v =$ Cinza
10              $Q := Q \cup \{v\}$ 
11         end if
12      $c_u =$ Preto
```

Busca em Largura

Entrada Grafo direcionado $G = (V, A)$, nó origem s .

```
1  for cada vértice  $u \in V \setminus \{s\}$  do
2       $c_u :=$ Branco
3       $c_s :=$ Cinza
4       $Q := \{s\}$                                 Laço exterior:  $O(|V|)$ 
5      while  $Q \neq \emptyset$  do
6          seleciona  $u \in Q$ ;  $Q := Q \setminus \{u\}$ 
7          for  $v \in N(u)$  do
8              if  $c_v =$ Branco then
9                   $c_v =$ Cinza
10                  $Q := Q \cup \{v\}$ 
11             end if
12              $c_u =$ Preto
```

Busca em Largura

Entrada Grafo direcionado $G = (V, A)$, nó origem s .

```
1  for cada vértice  $u \in V \setminus \{s\}$  do
2       $c_u :=$ Branco
3       $c_s :=$ Cinza
4       $Q := \{s\}$                                 Laço exterior:  $O(|V|)$ 
5      while  $Q \neq \emptyset$  do
6          seleciona  $u \in Q$ ;  $Q$                                 Laço interior:  $O(|V|)$ 
7          for  $v \in N(u)$  do
8              if  $c_v =$ Branco then
9                   $c_v =$ Cinza
10                  $Q := Q \cup \{v\}$ 
11             end if
12              $c_u =$ Preto
```

Busca em Largura

Entrada Grafo direcionado $G = (V, A)$, nó origem s .

```
1  for cada vértice  $u \in V \setminus \{s\}$  do
2       $c_u :=$ Branco
3       $c_s :=$ Cinza
4       $Q := \{s\}$                                 Laço exterior:  $O(|V|)$ 
5      while  $Q \neq \emptyset$  do
6          seleciona  $u \in Q$ ;  $Q$                                 Laço interior:  $O(|V|)$ 
7          for  $v \in N(u)$  do
8              if  $c_v =$ Branco then
9                   $c_v =$ Cinza
10                  $Q := Q \cup \{v\}$ 
11             end if
12              $c_u =$ Preto
```

Total: $O(|V|^2)$?

Busca em Largura

Entrada Grafo direcionado $G = (V, A)$, nó origem s .

```
1  for cada vértice  $u \in V \setminus \{s\}$  do
2       $c_u :=$ Branco
3       $c_s :=$ Cinza
4       $Q := \{s\}$                                 Laço exterior:  $O(|V|)$ 
5      while  $Q \neq \emptyset$  do
6          seleciona  $u \in Q$ ;  $Q$  Laço interior:  $O(\delta_u)$ 
7          for  $v \in N(u)$  do
8              if  $c_v =$ Branco then
9                   $c_v =$ Cinza
10                  $Q := Q \cup \{v\}$ 
11             end if
12              $c_u =$ Preto
```

Total: $O(|V|^2)$?

Busca em Largura

Entrada Grafo direcionado $G = (V, A)$, nó origem s .

```
1  for cada vértice  $u \in V \setminus \{s\}$  do
2       $c_u :=$ Branco
3       $c_s :=$ Cinza
4       $Q := \{s\}$                                 Laço exterior:  $O(|V|)$ 
5      while  $Q \neq \emptyset$  do
6          seleciona  $u \in Q$ ;  $Q$  Laço interior:  $O(\delta_u)$ 
7          for  $v \in N(u)$  do
8              if  $c_v =$ Branco then
9                   $c_v =$ Cinza
10                  $Q := Q \cup \{v\}$ 
11             end if
12              $c_u =$ Preto
```

Total: $O(|V| + \sum_u \delta_u) = O(|V| + |E|)$

Agenda

- 5 Introdução
- 6 Exemplos introdutórios
- 7 Princípios básicos
- 8 Análise amortizada e agregada
- 9 Recursão
 - Análise de árvores de busca

Método de Divisão e Conquista

- **Dividir** o problema em subproblemas independentes
- **Conquistar** os subproblemas, resolvendo-os recursivamente
- **Combinar** as soluções dos subproblemas

Divisão e conquista

DC

Entrada Uma instância I de tamanho n .

```
1 if  $n = 1$  then
2   return Solução direta
3 else
4   Divide  $I$  em sub-instances
5    $I_1, \dots, I_k$ ,  $k > 0$ 
6   com tamanhos  $n_i < n$ .
7   Resolve recursivamente:  $I_1, \dots, I_k$ .
8   Resolve  $I$  combinando sub-soluções
9    $DC(I_1), \dots, DC(I_k)$ .
10 end if
```

Recursão natural

- Seja $d(n)$ o tempo para a divisão.
- Seja $s(n)$ o tempo para combinar a solução final.
- Podemos somar: $f(n) = d(n) + s(n)$ e obtemos

$$T(n) = \begin{cases} \Theta(1) & \text{para } n < n_0 \\ \sum_{1 \leq i \leq k} T(n_i) + f(n) & \text{caso contrário.} \end{cases}$$

Problema: como achar a solução de uma recorrência?

Theorem (Akra-Bazzi e Leighton)

Dado a recorrência

$$T(x) = \begin{cases} \Theta(1) & \text{se } x \leq x_0 \\ \sum_{1 \leq i \leq k} a_i T(b_i x + h_i(x)) + g(x) & \text{caso contrário} \end{cases}$$

com constantes $a_i > 0$, $0 < b_i < 1$ e funções g , h , tal que

$$|g'(x)| \in O(x^c); \quad |h_i(x)| \leq x / \log^{1+\epsilon} x$$

para um $\epsilon > 0$ e a constante x_0 e suficientemente grande

$$T(x) \in \Theta \left(x^p \left(1 + \int_1^x \frac{g(u)}{u^{p+1}} du \right) \right)$$

com p tal que $\sum_{1 \leq i \leq k} a_i b_i^p = 1$.

Caso particular: pisos e tetos

$$T(x) = \begin{cases} \Theta(1) & \text{se } x \leq x_0 \\ \sum_{1 \leq i \leq k} a_i T(b_i x + h_i(x)) + g(x) & \text{caso contrário} \end{cases}$$

- Os $h_i(x)$ permitem pequenas perturbações.
- Usando $h_i(x) = \lfloor b_i x \rfloor - b_i x$ obtemos

$$T(x) = \begin{cases} \Theta(1) & \text{se } x \leq x_0 \\ \sum_{1 \leq i \leq k} a_i T(\lfloor b_i x \rfloor) + g(x) & \text{caso contrário} \end{cases}$$

Exemplo 1: Mergesort

Mergesort

Entrada Índices p, r e um vetor A com elementos

$$A_p, \dots, A_r$$

Saída A com elementos em ordem não-decrescente, i.e.
para $i < j$ temos $A_i \leq A_j$.

```
1  if  p < r  then
2      q = ⌊(p + r)/2⌋
3      MergeSort(A, p, q);
4      MergeSort(A, q+1, r );
5      Merge(A, p, q, r )
6  end if
```

Exemplo 1: Mergesort

$$T(n) = \begin{cases} \Theta(1) & \text{se } n \leq 1 \\ T(\lfloor n/2 \rfloor) + T(\lceil n/2 \rceil) + \Theta(n) & \text{caso contrário} \end{cases}$$

e com $2^{-p} + 2^{-p} = 1$ temos $p = 1$ e

$$\begin{aligned} T(n) &= \Theta\left(n\left(1 + \int_1^n \frac{1}{u} du\right)\right) \\ &= \Theta(n \log n) \end{aligned}$$

Exemplo 2: Multiplicação

$$p = \boxed{p_l} \boxed{p_r} = p_l 2^{n/2} + p_r$$

$$q = \boxed{q_l} \boxed{q_r} = q_l 2^{n/2} + q_r$$

Logo

$$\begin{aligned} pq &= (p_l 2^{n/2} + p_r)(q_l 2^{n/2} + q_r) \\ &= 2^n p_l q_l + 2^{n/2} (p_l q_r + p_r q_l) + p_r q_r \end{aligned}$$

Observação

$$p_l q_r + p_r q_l = (p_l + p_r)(q_l + q_r) - p_l q_l - p_r q_r$$

Exemplo 2: Multiplicação

mult-bin (Karatsuba and Ofman, 1962)

Entrada Dois números binários p, q com n bits.

Saída O produto pq (com $\leq 2n$ bits).

```
1  if  $n = 1$  then return  $pq$ 
2  else
3       $x_1 := \text{mult-bin}(p_l, q_l)$ 
4       $x_2 := \text{mult-bin}(p_r, q_r)$ 
5       $x_3 := \text{mult-bin}(p_l + p_r, q_l + q_r)$ 
6      return  $x_1 2^n + (x_3 - x_2 - x_1) 2^{n/2} + x_2$ 
7  end if
```

Exemplo 2: Multiplicação

$$T(n) = \begin{cases} \Theta(1) & \text{se } n \leq 1 \\ 2T(\lceil n/2 \rceil) + T(\lceil n/2 \rceil + 1) + \Theta(n) & \text{caso contrário} \end{cases}$$

e com $32^{-p} = 1$ temos $p = \log_2 3 \approx 1.58$ e

$$\begin{aligned} T(n) &= \Theta\left(n^p \left(1 + \int_1^n u^{-p} du\right)\right) \\ &= \Theta\left(n^p \left(1 + (n^{1-p}/(1-p) - 1/(1-p))\right)\right) \\ &= \Theta(c_1 n^p + c_2 n) \\ &= \Theta(n^{1.58}) \end{aligned}$$

Exemplo 3: Multiplicação de matrizes

$$\left(\begin{array}{c|c} A_{11} & A_{12} \\ \hline A_{21} & A_{22} \end{array} \right) \times \left(\begin{array}{c|c} B_{11} & B_{12} \\ \hline B_{21} & B_{22} \end{array} \right) = \left(\begin{array}{c|c} C_{11} & C_{12} \\ \hline C_{21} & C_{22} \end{array} \right).$$

$$C_{11} = A_{11}B_{11} + A_{12}B_{21}$$

$$C_{12} = A_{11}B_{12} + A_{12}B_{22}$$

$$C_{21} = A_{21}B_{11} + A_{22}B_{21}$$

$$C_{22} = A_{21}B_{12} + A_{22}B_{22}$$

Exemplo 3: Multiplicação de matrizes

Observação de Strassen (1969):

$$M_1 = (A_{11} + A_{22})(B_{11} + B_{22})$$

$$M_2 = (A_{21} + A_{22})B_{11}$$

$$M_3 = A_{11}(B_{12} - B_{22})$$

$$M_4 = A_{22}(B_{21} - B_{11})$$

$$M_5 = (A_{11} + A_{12})B_{22}$$

$$M_6 = (A_{21} - A_{11})(B_{11} + B_{12})$$

$$M_7 = (A_{12} - A_{22})(B_{21} + B_{22})$$

$$C_{11} = M_1 + M_4 - M_5 + M_7$$

$$C_{12} = M_3 + M_5$$

$$C_{21} = M_2 + M_4$$

$$C_{22} = M_1 - M_2 + M_3 + M_6$$

Exemplo 3: Multiplicação de matrizes

$$T(n) = \begin{cases} \Theta(1) & \text{se } n \leq 1 \\ 7T(n/2) + \Theta(n^2) & \text{caso contrário} \end{cases}$$

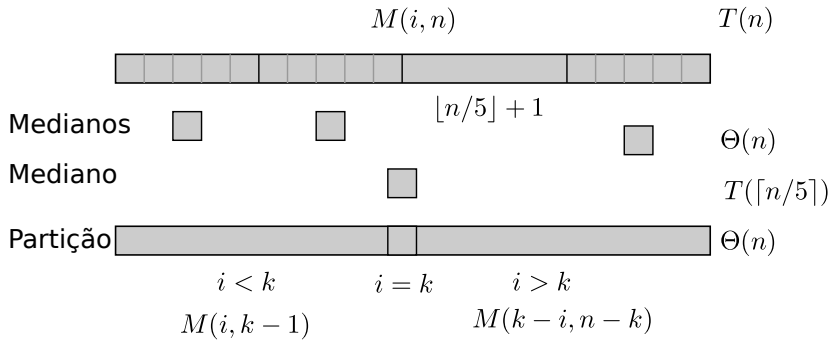
e com $72^{-p} = 1$ temos $p = \log_2 7 \approx 2.81$ e

$$\begin{aligned} T(n) &= \Theta\left(n^p \left(1 + \int_1^n u^{1-p} du\right)\right) \\ &= \Theta(n^p(1 + (n^{2-p}/(2-p) - 1/(2-p)))) \\ &= \Theta(c_1 n^p + c_2 n^2) \\ &= \Theta(n^{2.81}) \end{aligned}$$

Exemplo 4: Seleção

- Tarefa: Seleciona o k -ésimo elemento de n elementos não ordenados.
- Com ordenação: $O(n \log n)$.

Exemplo 4: Seleção



Exemplo 4: Seleção

- Número de medianos: maior que $n/5 - 1$
- Número de medianos menor que posição k : maior que $n/10 - 2$
- Número de elementos menor que posição k : maior que $3n/10 - 6$
- Número de elementos maior que posição k : menor que $7n/10 + 6$
- Portanto

$$T(n) = \begin{cases} \Theta(1) & \text{se } n \leq 5 \\ T(\lceil n/2 \rceil) + \Theta(7n/10 + 6) + \Theta(n) & \text{caso contrário} \end{cases}$$

Exemplo 4: Seleção

$$T(n) = \begin{cases} \Theta(1) & \text{se } n \leq 5 \\ T(\lceil n/2 \rceil) + \Theta(7n/10 + 6) + \Theta(n) & \text{caso contrário} \end{cases}$$

e com $5^{-p} + (7/10)^p = 1$ temos $p = \log_2 7 \approx 0.84$ e

$$\begin{aligned} T(n) &= \Theta\left(n^p \left(1 + \int_1^n u^{-p} du\right)\right) \\ &= \Theta(n^p(1 + (n^{1-p}/(1-p) - 1/(1-p)))) \\ &= \Theta(c_1 n^p + c_2 n) \\ &= \Theta(n) \end{aligned}$$

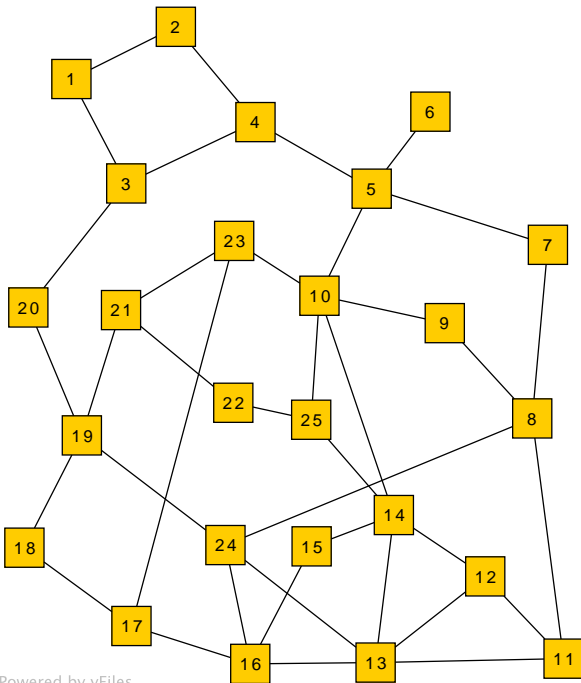
Exemplo

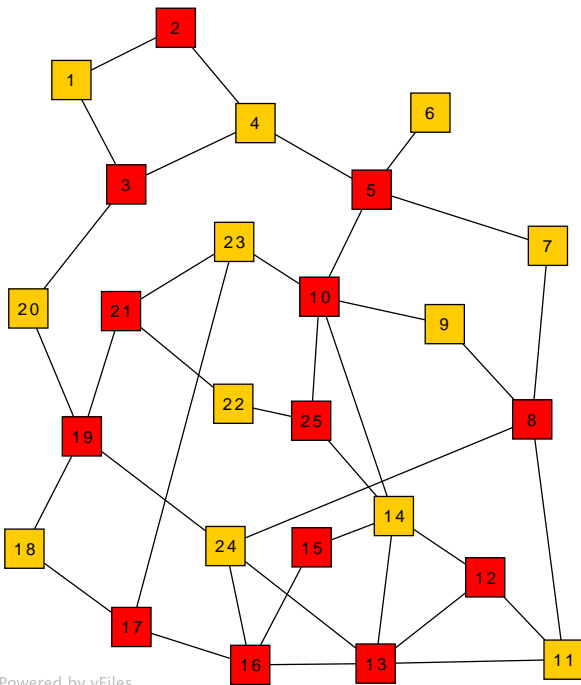
Cobertura por vértices

Instância Um grafo não-direcionado $G = (V, A)$.

Solução Uma cobertura C , i.e. um conjunto $C \subseteq V$ tal que $\forall a \in A : a \cap C \neq \emptyset$.

Objetivo Minimizar $|C|$.





Força bruta

mvc

Entrada Um grafo não-direcionado $G = (V, A)$.

Saída A menor cobertura.

- 1 **if** $A = \emptyset$ **return** \emptyset
- 2 seleciona $\{u, v\} \in A$ não coberta
- 3 $C_1 := \{u\} \cup \text{mvc}(G \setminus \{u\})$
- 4 $C_2 := \{v\} \cup \text{mvc}(G \setminus \{v\})$
- 5 **return** a menor cobertura C_1 ou C_2

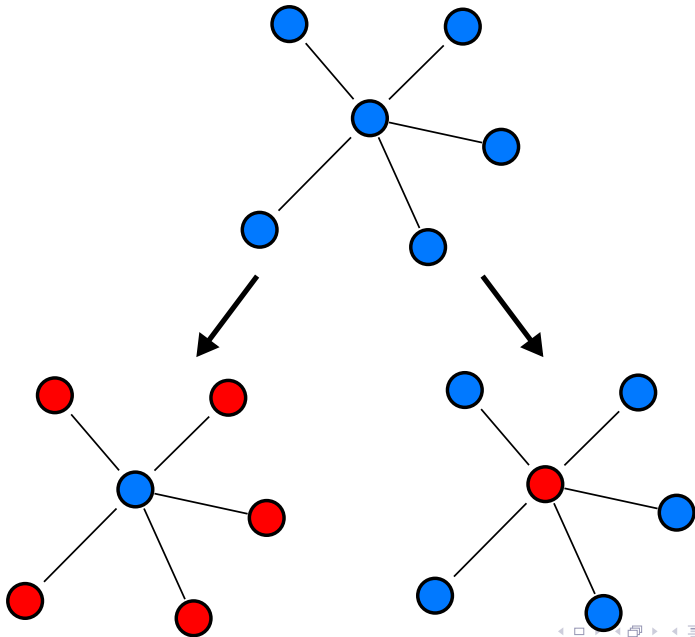
$$T_n = 2T_{n-1} + \Theta(n) = \Theta(2^n)$$

Um algoritmo melhor para cobertura

Observação:

- Caso o grau máximo Δ de G é 2, o problema pode ser resolvido em tempo $O(n)$, porque G é uma coleção de caminhos simples e ciclos.
- Caso contrário, temos ao menos um vértice v de grau $\delta_v \geq 3$. Ou esse vértice faz parte da cobertura mínima, ou todos seus vizinhos $N(v)$

$$\delta_v \geq 3$$



Um algoritmo melhor para cobertura

```
1 mvc'(G) :=  
2   if  $\Delta(G) \leq 2$  then  
3     determina a cobertura mínima  $C$  em tempo  $O(n)$   
4     return  $C$   
5   end if  
6   seleciona um vértice  $v$  com grau  $\delta_v \geq 3$   
7    $C_1 := \{v\} \cup \text{mvc}'(G \setminus \{v\})$   
8    $C_2 := N(v) \cup \text{mvc}'(G \setminus N(v))$   
9   return a menor cobertura entre  $C_1$  e  $C_2$ 
```

Análise do algoritmo

- Existem mais folhas que nós internos
- Para simplificar vamos só contar folhas.

O número de folhas obedece

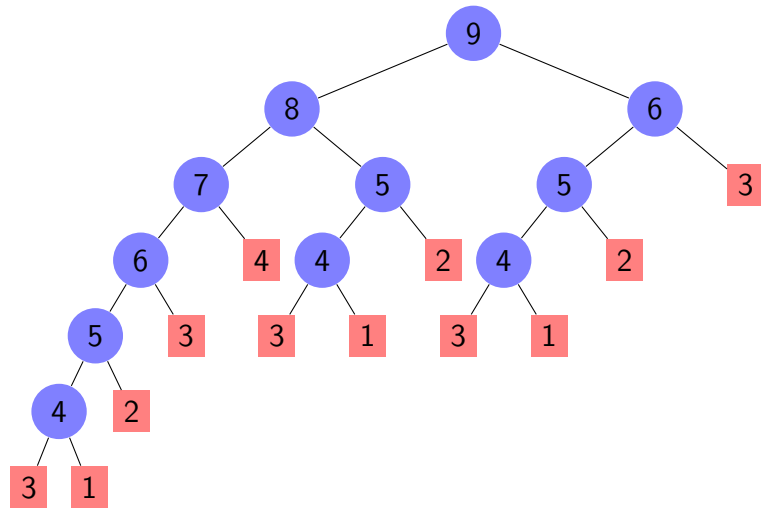
$$T(n) \leq T(n-1) + T(n-3)$$

No caso geral queremos resolver

$$T(n) = T(n-d_1) + T(n-d_2) + \cdots + T(n-d_k)$$

(d_1, \dots, d_k) é o **vetor de bifurcação**.

Árvore de busca para $n = 9$



Analisar árvores de busca

Theorem (Graham et al. (1988))

Dado a recorrência

$$T(n) = \begin{cases} \Theta(1) & n \leq \max_{1 \leq i \leq k} d_i \\ \sum_i \alpha_i T(n - d_i) & \text{caso contrário} \end{cases}$$

seja α a raiz com a maior valor absoluto com multiplicidade l do **polinômio característico**

$$z^d - \alpha_1 z^{d-d_1} - \dots - \alpha_k z^{d-d_k}$$

com $d = \max_k d_k$. Então

$$T(n) = \Theta(n^{l-1} \alpha^n) = \Theta^*(\alpha^n).$$

Analise do algoritmo para cobertura por vértices

- Vetor de bifurcação $(1, 3)$
- Polinômio característico $z^3 = z^2 + 1$
- Maior raiz $\alpha \approx 1.47$
- Número de folhas

$$\Theta(\alpha^n).$$

- Complexidade

$$O(\alpha^n n).$$

3-SAT

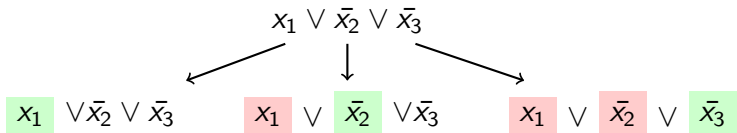
- Fórmula em **forma normal conjuntiva** com 3 literais por cláusula

$$\varphi(x_1, \dots, x_n) = \bigwedge_i l_{i1} \vee l_{i2} \vee l_{i3}$$

- Problema: Existe **atribuição** $a : x_i \mapsto \{F, V\}$ que satisfaz φ ?
- Força bruta: $\Theta(2^n)$ testes.

3-SAT

- Árvore de busca (Monien and Speckenmeyer, 1985)



$$T(n) = T(n-1) + T(n-2) + T(n-3)$$

- Vetor de bifurcação (1, 2, 3).
- Polinômio característico: $z^3 - z^2 - z^1 - 1$.
- Maior raiz: $\alpha \approx 1.84$.
- Número de folhas: $\Theta(\alpha^n)$.
- Complexidade: $O(\alpha^n)$.

Outro exemplo

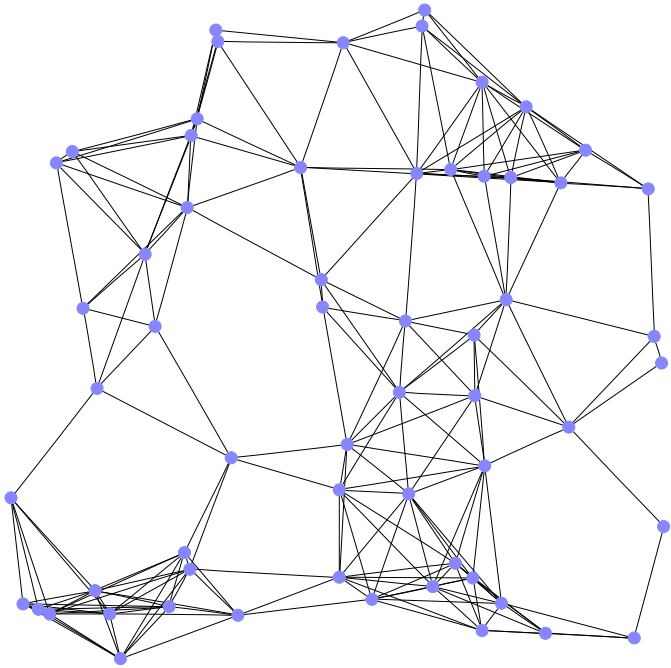
Conjunto independente máximo

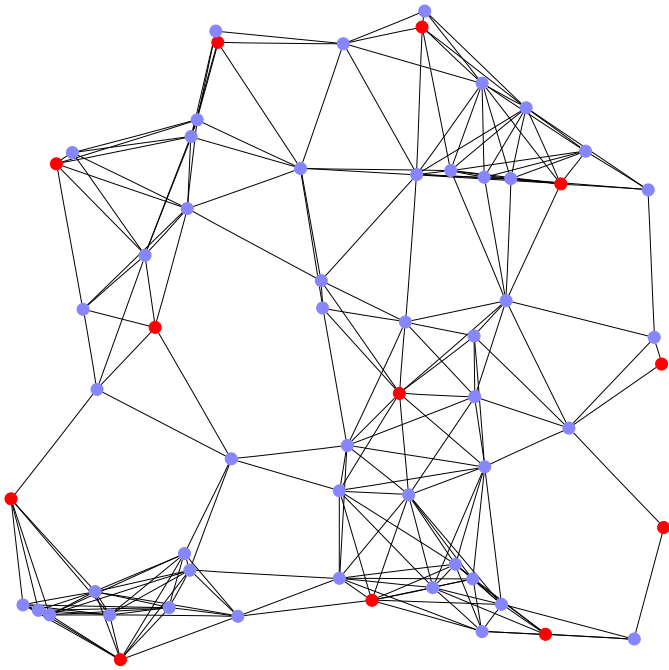
Instância Um grafo não-direcionado $G = (V, E)$.

Solução Um conjunto **independente** $M \subseteq V$, i.e. todo $m_1, m_2 \in V$ temos $\{m_1, m_2\} \notin E$.

Objetivo Maximiza a cardinalidade $|M|$.

- Força bruta: $\Theta(2^n)$ testes.





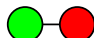
Uma abordagem por análise de casos

$$\delta_v = 0$$



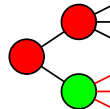
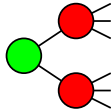
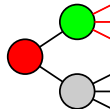
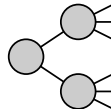
$$T_n = T_{n-1}$$

$$\delta_v = 1$$



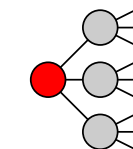
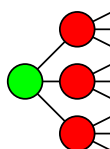
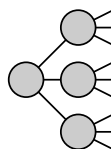
$$T_n = T_{n-2}$$

$$\delta_v = 2$$



$$T_n = 3T_{n-3}$$

$$\delta_v \geq 3$$



$$T_n = T_{n-4} + T_{n-1}$$

Análise do algoritmo

- Os primeiros dois casos não aumentam o número de folhas.
- Caso $\delta_v = 2$: Vetor de bifurcação $(3, 3, 3)$ com solução $O(1.45^n)$.
- Caso $\delta_v \geq 3$: Vetor de bifurcação $(4, 1)$ com solução $O(1.39^n)$.
- Em soma: Complexidade pessimista $O(1.45^n)$.

Parte III

Teoria de complexidade

Agenda

10 Introdução

11 P vs. NP

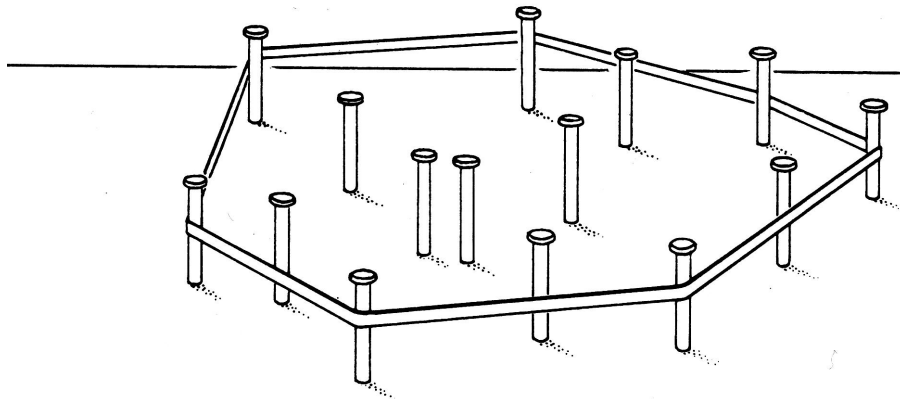
12 Acima de NP

Envoltória convexa de n pontos em
 $O(n)$?

Envoltória convexa de n pontos em
 $O(n)$?

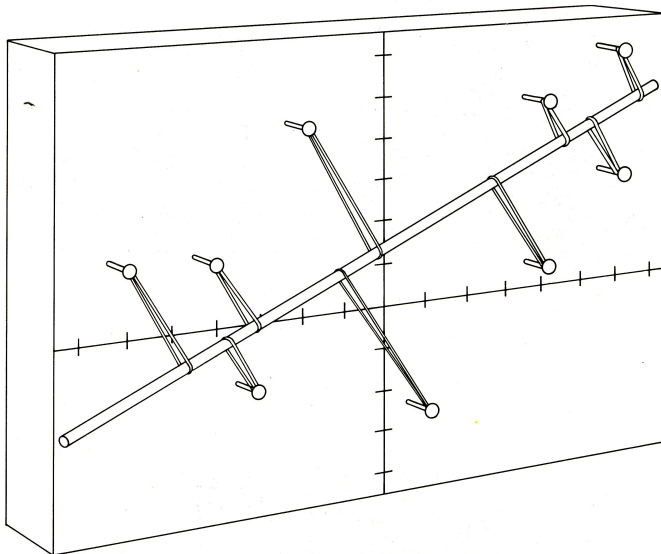
Solução tradicional: $O(n \log n)$.

Usa pregos!



Regressão linear?

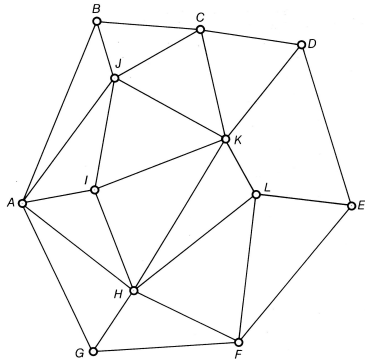
A mesma coisa!



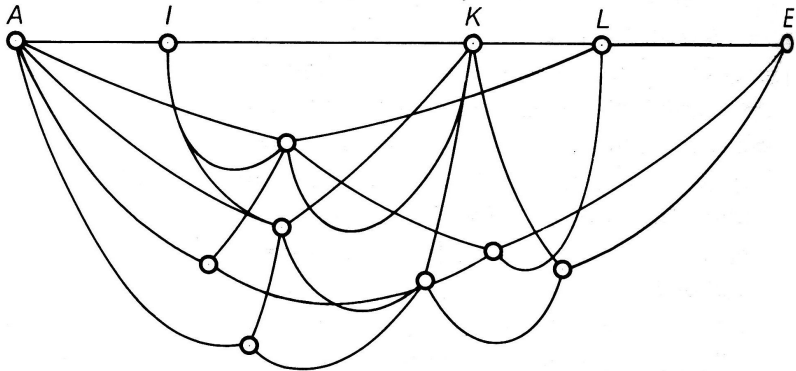
Caminho mais curto entre um par de vértices em $O(m)$?

Caminho mais curto entre um par de vértices em $O(m)$?

Solução tradicional: $O(n + m \log n)$.

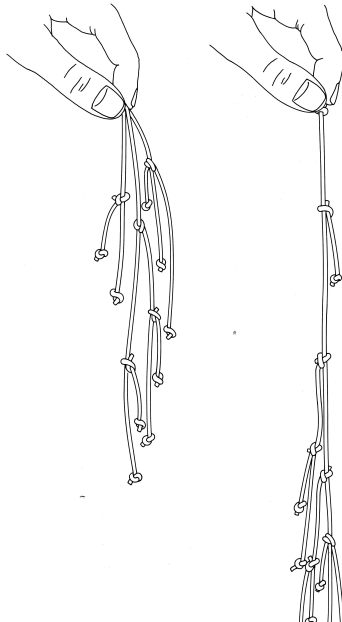


Usa fios!



Caminho mais **longo** entre um
par de vértices de uma árvore
em $O(m)$?

Fios novamente!



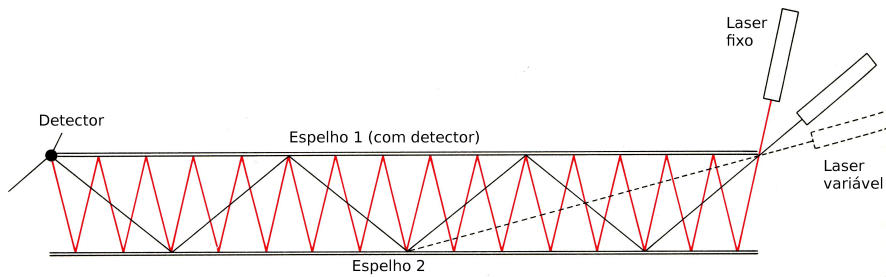
Teste de primalidade?

Teste de primalidade?

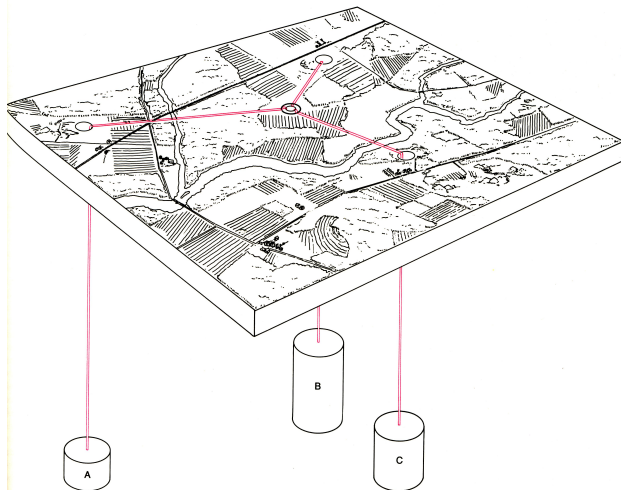
Soluções tradicionais:

- Randomizado: $\tilde{O}(k \log^2 n)$
(Miller, Rabin 1980)
- Determinístico: $\tilde{O}(\log^6 n)$
(Agrawal, Kayal, and Saxena, 2004)

Usa um laser!



E ainda localização de facilidades !



A primeira resposta

A photograph of a severe thunderstorm at night. Multiple bright, branching lightning bolts strike down from dark, billowing cumulonimbus clouds. One prominent bolt strikes the ground near the horizon, creating a large, bright white explosion of light and smoke. The foreground is dark and silhouetted against the bright sky.

A toda poderosa natureza vai
resolver os nossos problemas!

Agenda

10 Introdução

11 P vs. NP

12 Acima de NP

Agora um desafio para mamãe natureza

A questão que vale US\$ 1.000.000:

$$P = NP?$$

Agora um desafio para mamãe natureza

A questão que vale US\$ 1.000.000:

$$P = NP?$$

Solução simples: dividir por P, se possível

$$P = 0 \vee N = 1$$

Lembrança

Classe de complexidade P

Problemas de decisão com solução em tempo polinomial.

Classe de complexidade NP

Problemas de decisão que possuem um **certificado** para a resposta “sim” que pode ser verificado em tempo polinomial.

(NP não é não-polinomial.)

Classe de complexidade co-NP

Problemas de decisão que possuem um **certificado** para a resposta “não” que pode ser verificado em tempo polinomial.

Formalmente

Um problema pertence a

- $\text{DTIME}(t(n))$ se existe uma MT determinística tal que decide-o em tempo $ct(n)$.
- $\text{NTIME}(t(n))$ se existe uma MT não-determinística que decide-o em tempo $ct(n)$.
- $\text{DSPACE}(s(n))$ se existe uma MT determinística que decide-o em espaço $cs(n)$.
- $\text{NSPACE}(s(n))$ se existe uma MT não-determinística que decide-o de espaço $cs(n)$.

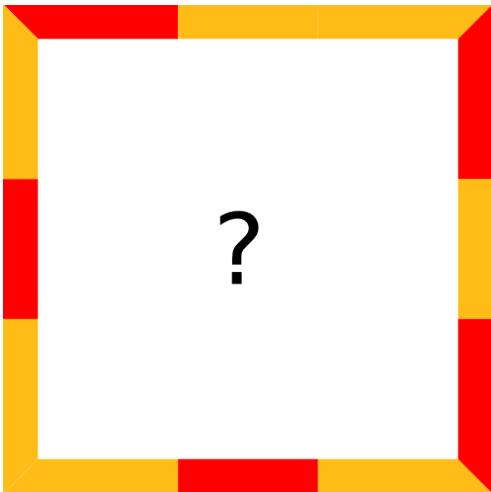
Lembrança...

Problemas NP-completos

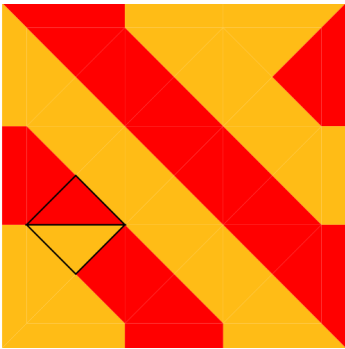
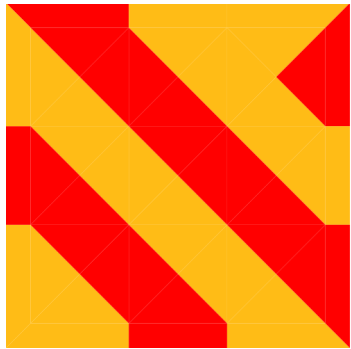
Os mais difíceis da classe NP: todo problema em NP pode ser **reduzido** para um problema NP-completo em tempo polinomial.

Em particular: resolvendo um problema NP-completo em tempo polinomial permite resolver **todos** em tempo polinomial.

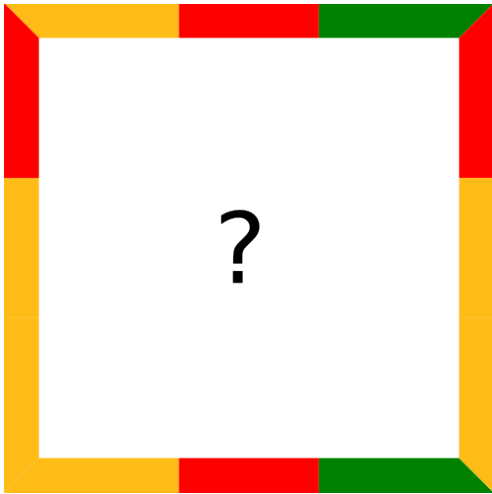
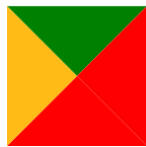
Ladrilhar: Um exemplo



Ladrilhar: Solução



Ladrilhar: Exemplo



Ladrilhar: O problema

- Para um conjunto finito de cores C , o **tipo** de um ladrilho é uma função $t : \{N, W, S, E\} \rightarrow C$.

Ladrilhamento

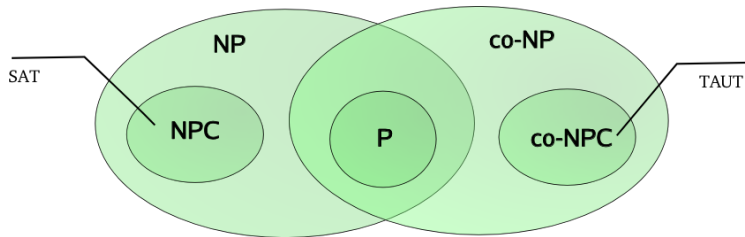
Instância Tipos de ladrilhos t_1, \dots, t_k e uma grade de tamanho $n \times n$ com bordas coloridas.

Questão Existe um ladrilhamento correto da grade (sem girar os ladrilhos)?

Theorem (Levin)

Ladrilhamento é NP-completo.

O mundo de complexidade ao redor de P

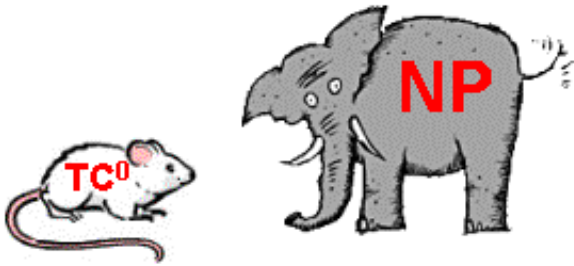


Classes de complexidade

I'm sure I'm not the only one who gets rapidly lost when theoretical computer scientists drop names of complexity classes all over the place. I don't know how they do it, but they seem to know what they all are, and how they are related to each other...

(Tim Gowers on polymathprojects.org)

Excuso: Uma visita no zoológico de complexidade



http://qwiki.stanford.edu/wiki/Complexity_Zoo

De volta ao desafio: Um problema de Gauss



(Fonte: http://img.photobucket.com/albums/v405/btl/Gauss_sketch.jpg)

Excuso: O cerebro de Gauss



O cerebro está em Göttingen.
Resultado da R.M. em 1998: tudo OK.

(Fonte: Häenike, Frahm, Wittmannm, Magnetresonanz-Tomografie des Gehirns von Carl-Friedrich Gauß) ▶

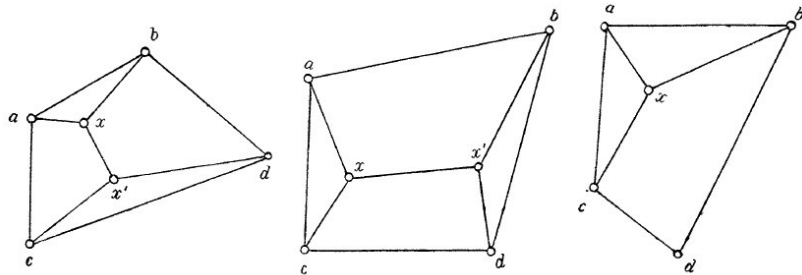
Gauss para Schumacher, 21 de março 1836

Was ihr Viereck betrifft, so heisst doch die Aufgabe so: Vier Punkte a, b, c, d sind gegeben, man soll einen 5ten x finden, so dass $ax + bx + cx + dx$ ein Minimum wird, und das ist von den 3 Durchschnittspunkten ab mit cd , ac mit bd , ad mit bc der eine, wo man für die Auswahl die Bedingung entweder leicht auf Anschauung reduzieren, oder analytisch einkleiden könnte. Lassen Sie nun a, b, c fest sein und d dem c immer näher rücken, so bleibt diese Auflösung noch immer so lange richtig, als Sie nicht c mit d zusammenfallen lassen. Fällt aber c mit d zusammen, so erfordert Geist und Buchstabe der mathematischen Aufgabe, als solcher, dass Sie dann c zweimal zählen, also in dem Dreieck abc $ax + bx + 2cx$ zu einem Minimum machen, wo sich die allgemeine Auflösung noch immer als richtig ausweiset.

Gauss para Schumacher, 21 de março 1836

Ist bei einem 4 Eck nicht von der stricten mathematischen Aufgabe, wie sie oben ausgesprochen ist, sondern von dem kürzesten Verbindungssystem die Rede, so werden mehrere einzelne Fälle von einander unterschieden werden müssen, und es bildet sich so eine recht interessante mathematische Aufgabe, die mir nicht fremd ist, vielmehr habe ich Gelegenheit einer Eisenbahnverbindung zwischen Harburg, Bremen, Hannover, Braunschweig sie in Erwägung genommen und bin selbst auf den Gedanken gekommen, dass sie eine ganz schickliche Preisfrage für unsere Studenten bei Gelegenheit abgeben könnte. Die Möglichkeiten verschiedener Fälle erläutern wohl hinreichend folgende Figuren:

Gauss para Schumacher, 21 de março 1836

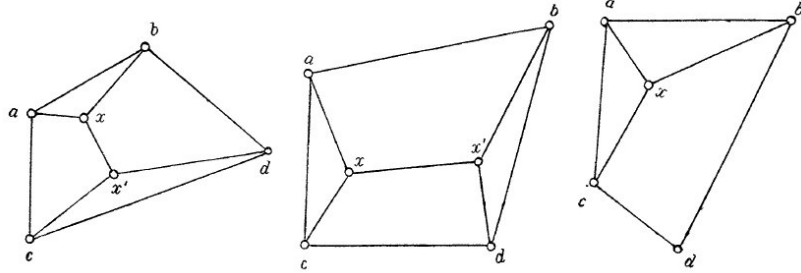


wo in der dritten Figure die Verbindung von c nach d direct gehen muss (was wirklich bei obigem Beispiel der Fall wird).
Doch die Zeit drängt, also heute hiervon nicht mehr ...

Gauss para Schumacher, 21 de março 1836

Se falamos, no caso de um quadrilátero, não do problema matemático estrito, como definido acima, mas do menor sistema de conexões, temos que separar diversos casos particulares, e obtemos um problema matemático bem interessante, que não é novo para mim, mas que tenho ponderado na ocasião de uma linha de trem entre Harburg, Bremen, Hannover, Braunschweig e cheguei a conclusão, que seria uma questão respeitável para um concurso entre os nossos estudantes em alguma ocasião. As seguintes figuras devem explicar os diferentes casos possíveis suficientemente:

Gauss para Schumacher, 21 de março 1836



onde na terceira figura a conexão de c para d tem que ser direta (que é o caso do exemplo acima). Mas é tarde, então nada mais disso hoje...

Árvore Steiner Euclidiano

Dado pontos x_1, x_2, \dots, x_n acha a menor rede de interconexões.

SIAM J. APPL. MATH.
Vol. 32, No. 4, June 1977

THE COMPLEXITY OF COMPUTING STEINER MINIMAL TREES*

M. R. GAREY, R. L. GRAHAM AND D. S. JOHNSON†

Abstract. It is shown that the problem of computing Steiner minimal trees for general planar point sets is inherently at least as difficult as any of the *NP*-complete problems (a well known class of computationally intractable problems). This effectively destroys any hope for finding an efficient algorithm for this problem.

Árvore Steiner em grafos

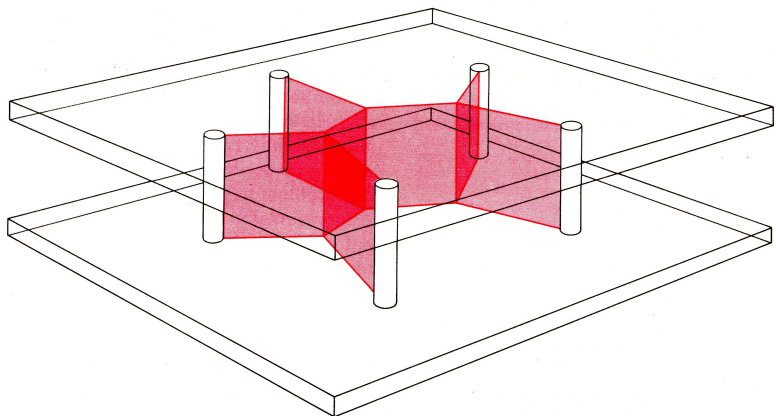
Dado um grafo $G = (V, E)$, distâncias $d_{uv} \in \mathbb{Q}$ entre vértices $u, v \in V$ e **terminais** $T \subseteq V$:

Acha a menor rede de interconexões entre os terminais.

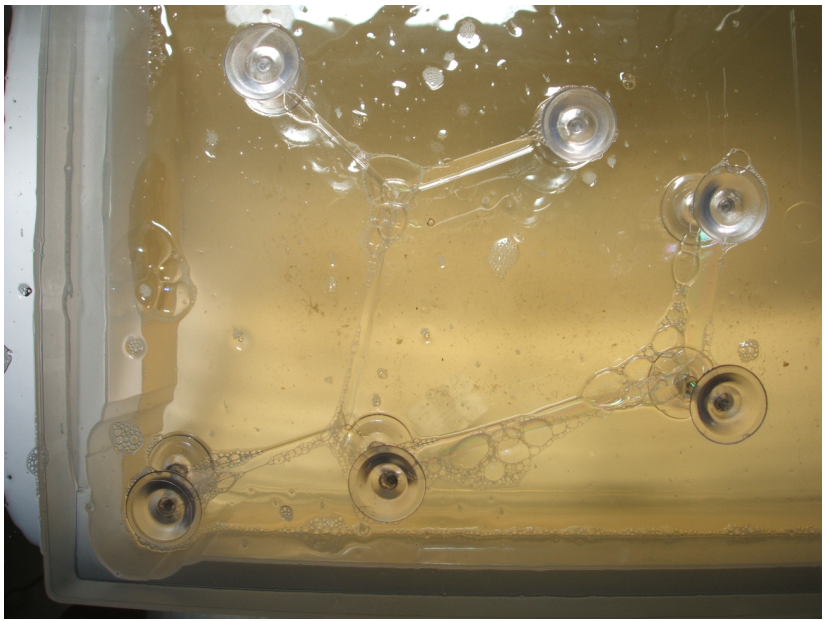
Selmer Bringsjord, Joshua Taylor, P = NP
(arXiv:cs/040605v1)

For example, the Steiner Tree problem (STP) is known to be NP-complete. Nonetheless, a simple physical process (termed an **analog computation**) can solve it quickly. [...] The physical process in question runs as follows. Make two parallel glass plates, and insert n pins between the plates to represent the points. Then dip the structure into a soap solution, and remove it. The soap film will connect the n pins in the minimum Steiner-tree graph [...] Building the structure and the solution (and the container for the solution) requires steps linear in the size of n , and dipping and withdrawing make two steps, [...]

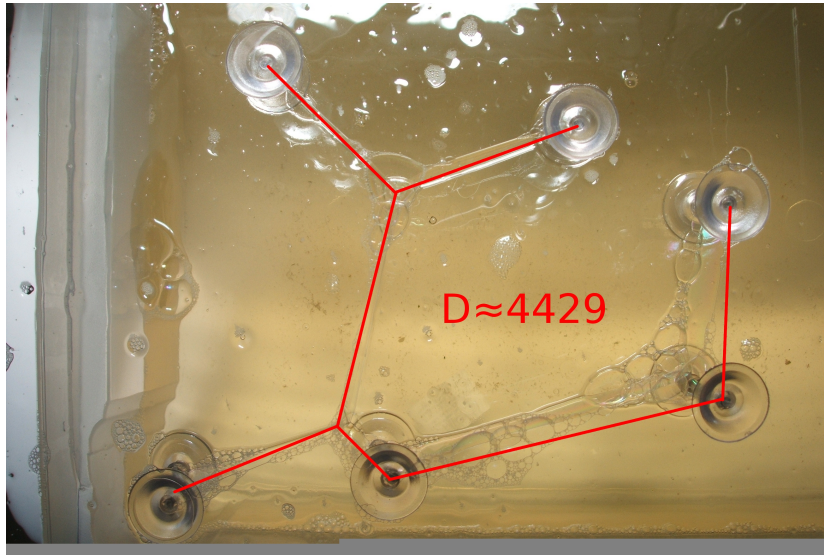
Nada mais fácil que isso!



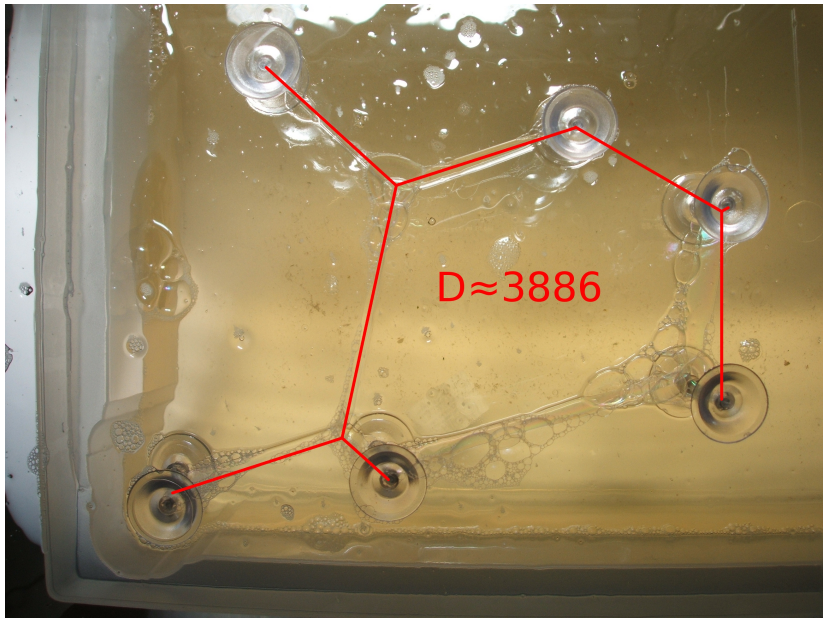




Gaia...



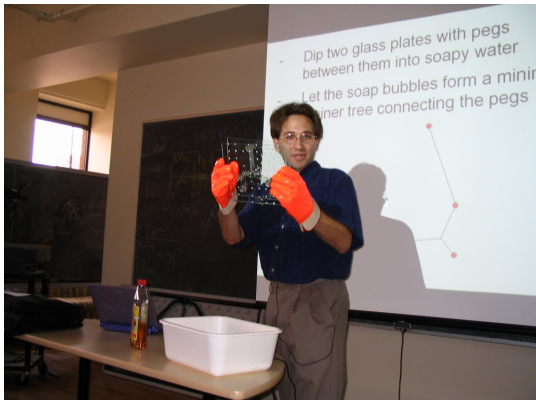
... vs. GeoSteiner



Opa! Não deu!

Não estamos sozinhos...

Long story short, I went to the hardware store, bought some glass plates, liquid soap, etc., and found that, while Nature does often find a minimum Steiner tree with 4 or 5 pegs, it tends to get stuck at local optima with larger numbers of pegs. Indeed, often the soap bubbles settle down to a configuration which is not even a tree (i.e. contains “cycles of soap”), and thus provably can’t be optimal.



Fonte: <http://www.scottaaronson.com/soapbubble.jpg>

Alguem precisa mais inspirações?

The P-versus-NP page

<http://www.win.tue.nl/~gwoegi/P-versus-NP.htm>

Como reconhecer provas falsas?

O teste mais simples, que elimina 60%

*Os autores não usam **TEX***

Falsos positivos: David Deutsch, Lev Grover.

(Aaronson)

(CTAN lion drawing by Duane Bibby; thanks to www.ctan.org)

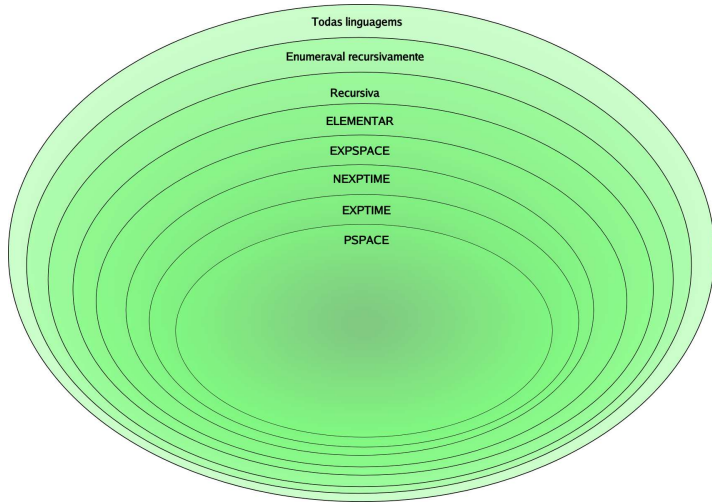
Agenda

10 Introdução

11 P vs. NP

12 Acima de NP

O mundo até ELEMENTAR



Exemplo: Expressões regulares

- Uma expressão regular é
 - 0 ou 1 (denota o conjunto $L(0) = \{0\}$ e $L(1) = \{1\}$).
 - $e \circ f$, se \circ é um operador, e e, f são expressões regulares.
- Operadores possíveis: $\cup, \cdot, ^2, ^*$, \neg .
- Decisão: Dadas as expressões regulares e, f , $L(e) \neq L(f)$?

Expressões regulares com Completo para

\cup, \cdot

NP

$\cup, \cdot, ^*$

PSPACE

$\cup, \cdot, ^2$

NEXP

$\cup, \cdot, ^2, ^*$

EXPSPACE

\cup, \cdot, \neg

Fora do ELEMENTAR!

- O tempo do último problema cresce ao menos como uma torre 2 de altura $\lg n$.

*Wir stehen selbst enttäuscht und sehn betroffen
Den Vorhang zu und alle Fragen offen.*

*Ficamos triste também ao notar,
por nosso lado
Tanto problema em aberto
e a cortina fechada.*

Brecht – A alma boa de Setsuan

Fontes das imagens I

13: piqs.de, fotos.piqs.de/0/f/3/a/2/

68a6760a3b6969fc3c693e65957a9e4b.jpg

27: Source links on the pages.

36: astronomy-pictures.net/beyond-the-stars.jpg

43, 44: Knuth

Referências I

Wilkinson microwave anisotropy probe. Online.

<http://map.gsfc.nasa.gov>.

Manindra Agrawal, Neeraj Kayal, and Nitin Saxena. PRIMES is in P. *Annals of Mathematics*, 160:781–793, 2004.

J. D. Bekenstein. A universal upper bound on the entropy to energy ratio for bounded systems. *Phys. Rev. D*, 23(2): 287–298, 1981.

C.-J. de la Vallée Poussin. Recherches analytiques la théorie des nombres premiers. *Ann. Soc. scient. Bruxelles*, 20: 183–256, 1896.

Referências II

- Martin Fürer. Faster integer multiplication. In **STOC '07: Proceedings of the thirty-ninth annual ACM symposium on Theory of computing**, pages 57–66, New York, NY, USA, 2007. ACM. ISBN 978-1-59593-631-8. doi: <http://doi.acm.org/10.1145/1250790.1250800>.
- Ronald Lewis Graham, Donald Ervin Knuth, and Oren Patashnik. **Concrete Mathematics: a foundation for computer science**. Addison-Wesley, 1988.
- J. Hadamard. Sur la distribution des zéros de la fonction zeta(s) et ses conséquences arithmétiques. **Bull. Soc. math. France**, 24:199–220, 1896.
- Anatolii Alekseevich Karatsuba and Yu Ofman. Multiplication of many-digit numbers by automatic computers. **Doklady Akad. Nauk SSSR**, 145(2):293–294, 1962. Translation in Soviet Physics-Doklady 7 (1963), pp. 595–596.

Referências III

- Jon Kleinberg and Éva Tardos. **Algorithm design.** Addison-Wesley, 2005.
- D. E. Knuth. Diamond signs. <http://www-cs-faculty.stanford.edu/~uno/diamondsigns/diam.html>.
- Seth Lloyd. Computational capacity of the universe. **Physical Review Letters**, 88(23), 2002.
<http://focus.aps.org/story/v9/st27>.
- John C. Mitchell. **Foundations for programming languages.** MIT Press, 1996.
- B. Monien and E. Speckenmeyer. Solving satisfiability in less than 2^n steps. **Discrete Appl. Math.**, 10:287–295, 1985.
- James Stirling. **Methodus differentialis, sive tractatus de summation et interpolation serierum infinitarum.** London, 1730.

Referências IV

Volker Strassen. Guassian elimination is not optimal. *Numer. Math.*, 13:354–356, 1969.

Alan Mathison Turing. On computable numbers with an application to the Entscheidungsproblem. *Proc. London MathSoc.*, 2(42):230–265, 1936.

Jan van Leeuwen, editor. *Handbook of theoretical computer science*, volume A: Algorithms and complexity. MIT Press, 1990. URL <http://www.amazon.com/Handbook-Theoretical-Computer-Science-Vol/dp/0262720140>.

Esta obra está licenciada sob uma Licença Creative Commons
(Atribuição–Uso Não-Comercial–Não a obras derivadas 3.0
Brasil).